

ارزیابی برخی مدل‌های نفوذ آب به خاک در برخی کلاس‌های بافتی خاک و کاربری‌های اراضی

فرزین پرچمی عراقی^۱، سید مجید میرلطیفی^{۲*}، شجاع قربانی دشتکی^۳ و محمد حسین مهدیان^۴

چکیده

فرآیند نفوذ آب به خاک نقش مهمی در چرخه‌ی آبی طبیعت ایفا می‌کند. اهمیت پدیده نفوذ پژوهشگران را بر آن داشته تا همواره در پی ارائه‌ی مدلی مناسب برای بیان کمی آن باشند. در پژوهش حاضر، عملکرد مدل‌های نفوذ گرین و امپت، فیلیپ، کوستیاکوف، کوستیاکوف-لویز، سازمان حفاظت خاک آمریکا (SCS) و هورتون در برآورد نفوذ تجمعی و نیز وابستگی عملکرد آن‌ها به کلاس‌های مختلف بافت خاک و کاربری‌های مختلف اراضی مورد ارزیابی قرار گرفت. برای این منظور، داده‌های حاصل از آزمایش‌های نفوذپذیری بهروش استوانه‌های مضاعف در ۲۱۰ نقطه از مناطق مختلف کشور جمع‌آوری گردید. پارامترهای مدل‌های یادشده بهروش حداقل مجموع مریعات خطا تعیین گردید. به‌منظور بررسی صحّت عملکرد مدل‌های مورد بررسی در برآورد نفوذ تجمعی، از آماره‌های میانگین خطای مطلق میانگین خطای (MAME)، ریشه‌ی میانگین مربعات خطای (RMSE)، انحراف معیار آماره‌ی RMSE و ضریب همبستگی پیرسون (r^2) استفاده شد. نتایج نشان داد که در مقایسه با دیگر مدل‌ها، عملکرد مدل کوستیاکوف-لویز در برآورد نفوذ تجمعی از روند پایدارتری برخوردار بود. به‌گونه‌ای که این مدل در اکثر کلاس‌های بافتی خاک و کاربری‌های اراضی مورد بررسی حائز رتبه‌ی نخست ارزیابی گردید. حال آن که این روند در دیگر مدل‌ها مشاهده نشد. به‌طور کلی، مدل‌های هورتون، کوستیاکوف و فیلیپ مدل‌هایی که برآوردگر و مدل کوستیاکوف-لویز، سازمان حفاظت خاک آمریکا (SCS) و گرین و امپت مدل‌هایی بیش برآورده بودند. مدل‌های کوستیاکوف-لویز و هورتون در اکثر کلاس‌های بافت خاک و کاربری‌های اراضی مورد مطالعه بهتریب، به‌طور سیستماتیک بیش برآورده و که برآورده بودند. نتایج این پژوهش نشان داد که در مقایسه با دیگر مدل‌های نفوذ مورد بررسی، مدل کوستیاکوف-لویز بهترین مدل برای بیان کمی فرآیند نفوذ آب به خاک است.

واژه‌های کلیدی: مدل حفاظت خاک آمریکا (SCS)، مدل فیلیپ، مدل کوستیاکوف-لویز، مدل گرین و امپت، مدل هورتون

گردیده است، مدل‌های فیزیکی و تجربی گوناگونی به‌منظور کمی^۱ نمودن این فرآیند ارائه گردد (Kostiakov, 1932; Lewis, 1937; Philip, 1957; Argyrokastritis and Kerkides, 2003). به‌طور کلی، مدل‌های نفوذ آب به خاک، شامل مدل‌های تخمینی با اساس فیزیکی و مدل‌های تخمینی تجربی می‌باشد (Rawls *et al.*, 1993). در مدل‌های تخمینی با اساس فیزیکی مانند مدل گرین و امپت (Green and Ampt, 1911) و فیلیپ (Philip, 1957) با تکیه بر مبانی فیزیکی، سعی در ساده‌سازی شرایط اولیه و شرایط مرزی در معادله‌ی جریان در محیط غیراشباع شده است. این فرضیات، داده‌های فیزیکی مورد نیاز این مدل‌ها را کاهش می‌دهد. اما از کارایی آن‌ها به‌لحاظ تغییر شرایط اولیه و مرزی می‌کاهد (Haverkamp *et al.*, 1987). مدل‌های تخمینی تجربی به‌لحاظ فرضیاتی که به شرایط سطح خاک و نیميخ خاک مربوط می‌شود، دارای محدودیت کمتری هستند و در عوض به شرایطی که برای آن واسنجی شده‌اند، محدود می‌گردند. مدل‌های تخمینی تجربی بر اساس پارامترهایی هستند که

مقدمه

نفوذ آب به خاک به عنوان فرآیند اولیه‌ی ورود آب از سطح خاک به‌داخل ناحیه‌ی غیراشباع خاک می‌باشد. این فرآیند یکی از اجزای اصلی چرخه‌ی هیدرولوژی است. کمی کردن پدیده نفوذ آب به خاک در مدیریت حوزه‌های آبخیز از اهمیت بسیار زیادی برخوردار است (Mukheibir, 2008). همچنین، کمی کردن این پدیده به‌منظور تعیین مقدار آب قابل دسترس برای رشد گیاه و تخمین مقدار آب اضافی مورد نیاز که باید از طریق آبیاری تامین شود و نیز طراحی سیستم‌های آبیاری، دارای اهمیت می‌باشد. اهمیت این فرآیند سبب

۱- دانشجوی کارشناسی ارشد، گروه آبیاری و زهکشی، دانشگاه تربیت مدرس، تهران

۲- دانشیار، گروه آبیاری و زهکشی، دانشگاه تربیت مدرس، تهران
۳- نویسنده مسئول: (E-Mail: mirlat_m@modares.ac.ir)

۴- استادیار، گروه خاکشناسی، دانشگاه شهرکرد، شهرکرد
۵- دانشیار، سازمان تحقیقات، آموزش و ترویج کشاورزی، تهران

مدل‌های گرین و امپت، هولتان، فیلیپ، کوستیاکوف و هورتون به ترتیب، در رتبه‌های اول تا پنجم ارزیابی قرار گرفتند. Neshat and Parehkar (2007) عملکرد مدل‌های نفوذ کوستیاکوف، گرین و امپت، فیلیپ، هورتون و سازمان حفاظت خاک آمریکا در برآورد نفوذ تجمعی و سرعت نفوذ اندازه‌گیری شده به روش استوانه‌های مضاعف را مورد مقایسه و ارزیابی قرار دادند. بهمنظور مقایسه عملکرد مدل‌های نفوذ از آماره‌ی ضریب تبیین (r^2) استفاده شد. نتایج این پژوهش‌ها کی از آن بود که مدل کوستیاکوف مناسب‌ترین مدل برای برآورد نفوذ تجمعی و سرعت نفوذ می‌باشد. بررسی پژوهش‌های صورت گرفته حاکی از آن است که پژوهشگران مختلف در مقایسه و ارزیابی عملکرد مدل‌های نفوذ به نتایج متفاوت و بعض‌اً ضد و نقیضی دست یافته‌اند. یکی از دلایل این امر طبیعت تعییرپذیر فرآیند نفوذ آب به خاک است. به‌گونه‌ای که این عامل باعث می‌گردد تا حتی یک مدل نفوذ در دو خاک که به لحاظ ویژگی‌های فیزیکی بسیار مشابه با یکدیگر هستند، دارای عملکردی متفاوت باشد (Sy, 2006). همچنین، بسته به شیوه‌ی اندازه‌گیری نفوذ، شرایط اولیه و شرایط مرزی جریان آب در خاک متفاوت خواهد بود. لذا، یکی از دلایل تفاوت در نتایج به دست آمده را می‌توان به این امر نسبت داد (Bhardwaj and Singh, 1992). دیگر دلیل تفاوت در نتایج پژوهش‌های صورت گرفته استفاده از آماره‌های متفاوت به منظور ارزیابی و مقایسه عملکرد مدل‌های نفوذ می‌باشد. از آنجا که هر یک از آماره‌های ارزیابی یک مدل بیانگر جنبه‌ی خاصی از عملکرد آن می‌باشند، لذا استفاده‌ی صرف از یک آماره‌ی ارزیابی ممکن است به تنها یکی ارزیابی عملکرد یک مدل مناسب نباشد (Bellocchi, et al. 2002). در برخی دیگر از پژوهش‌های انجام شده مانند Sadegh Zadeh et al. (2007) در برآش مدل‌های نفوذ بر داده‌های اندازه‌گیری شده، به دامنه‌ی معقول فیزیکی مقادیر پارامترهای مدل‌های نفوذ توجهی نشده است. به عنوان مثال، در این پژوهش، مقدار پارامتر A در مدل فیلیپ مقداری منفی به دست آمده است که قادر توجیه فیزیکی می‌باشد. بنابراین، از آنجا که هر کدام از مدل‌های نفوذ بر اساس اطلاعات مربوط به تعداد نمونه‌های محدودی از خاک‌ها یا با در نظر گرفتن فرضیاتی خاص به دست آمده‌اند، لذا دامنه‌ی استفاده از آنها در خاک‌های مختلف چندان مشخص نیست. به همین دلیل، ارزیابی کارایی این مدل‌ها در خاک‌های ایران که عمدتاً آهکی می‌باشند، ضروری به نظر می‌رسد. همین‌طور، از آنجا که نفوذ تجمعی دارای مفهوم فیزیکی روشی بوده و به راحتی قابل اندازه‌گیری می‌باشد، کمی کردن فرآیند نفوذ با استفاده از مفهوم نفوذ تجمعی، بیان واقعی تری از پدیده‌ی نفوذ آب به خاک بوده و مفاهیمی از قبیل سرعت نفوذ متوسط، سرعت نفوذ لحظه‌ای و سرعت نفوذ پایه از طریق این مفهوم قابل اشتقاق می‌باشند. از این‌رو، هدف از این پژوهش ارزیابی و مقایسه کارایی مدل‌های نفوذ گرین و امپت،

از طریق برآش منحنی تعیین می‌گردد و یا از روش‌های دیگر تخمین زده می‌شوند. از مدل‌های تخمینی تجربی می‌توان به مدل‌های Horton, Kostiakov (1932)، کوستیاکوف-لوییز (Mezencev, 1948) و مدل سازمان حفاظت خاک آمریکا (USDA-NRCS, 1974) (SCS) اشاره نمود. شرح مختصری از مدل‌های فوق در جدول (۱) ارائه گردیده است.

جدول ۱ - شرح مدل‌های نفوذ مورد بررسی و پارامترهای برآشی آنها^(*)

نام مدل	پارامترها	معادله
گرین و امپت	G و K_{fs}	$I = K_{fs}t + G \ln\left(1 + \frac{I}{G}\right)$
فیلیپ	A و S	$I = St^{1/2} + At$
کوستیاکوف	b و k	$I = kt^b$
کوستیاکوف-لوییز	A', b', k'	$I = k't^{b'} + A't^{A'}$
هورتون	a و m .C	$I = C t + m(1 - e^{-at})$
SCS	b'' و a''	$I = a''t^{b''} + 0.6985$

^(*) در این جدول، I: نفوذ تجمعی (سانتی‌متر) و a: زمان (دقیقه) می‌باشد.

از آنجا که فرضیات و پارامترهای به کار رفته در مدل‌های نفوذ باهم متفاوت است، انتظار می‌رود در یک شرایط معین، مدلی خاص دارای عملکرد بهتری در مقایسه با بقیه باشد. از این‌رو پژوهش‌های متعددی در زمینه‌ی ارزیابی و مقایسه عملکرد مدل‌های نفوذ صورت گرفته است (Mishra et al., 2003; Rashidi and Seyfi, 2007; Ghorbani Dashtaki et al., 2009). طی پژوهشی، Shukla et al. (2003) با اندازه‌گیری نفوذ به روش استوانه‌های مضاعف در منطقه‌ی اوهايو، واقع در کشور آمریکا، عملکرد ۱۰ مدل نفوذ آب به خاک شامل مدل‌های تخمینی تجربی و فیزیکی را در کاربری‌های مختلف اراضی مورد بررسی قرار دادند. بهمنظور مقایسه عملکرد مدل‌های مورد بررسی از آماره‌های مجموع مربعات خطأ، ضریب کارآیی مدل و شاخص توافق ویلموت استفاده شد. نتایج نشان داد که در مقایسه با سایر مدل‌های مورد بررسی، مدل هورتون دارای بهترین عملکرد در بیان کمی فرآیند نفوذ می‌باشد. همچنین، نوع کاربری اراضی اثر معنی‌داری بر مقادیر پارامترهای مدل‌های مورد بررسی داشت. (Turner 2006) عملکرد مدل‌های نفوذ کوستیاکوف، هورتون، هولتان (Holtan, 1961)، فیلیپ و گرین و امپت را به لحاظ توانایی آن‌ها در برآورد سرعت نفوذ اندازه‌گیری شده به روش باران مصنوعی در مناطق مالبرو و ماریلند واقع در کشور آمریکا، مورد مقایسه قرار داد. بهمنظور مقایسه عملکرد مدل‌های نفوذ از آماره‌ی ریشه‌ی میانگین مربعات خطأ (RMSE) استفاده شد. در این پژوهش،

2006). یکی از روش‌های بررسی پایایی داخلی یک آزمایش، استفاده از آماره‌ی آلفای کرونباخ⁷ می‌باشد. این آماره به صورت زیر تعریف می‌گردد (Bland and Altman, 1997):

$$\alpha = \frac{k}{k-1} \left(1 - \frac{\sum_{i=1}^k s_i^2}{s_T^2} \right) \quad (1)$$

که در آن: k : تعداد تکرارها، s_i^2 : واریانس تکرار i ام، s_T^2 : واریانس مجموع تکرارها می‌باشد. در صورتی که تکرارها کاملاً از هم مستقل باشند، مجموع واریانس‌های تکرارها با واریانس مجموع تکرارها برابر بوده و مقدار آلفا برابر با صفر می‌گردد. همچنین، اگر تکرارها کاملاً مشابه با یکدیگر باشند، در این صورت، مقدار آلفا برابر با یک خواهد بود (Bland and Altman, 1997). به عنوان یک قاعده‌ی کلی، اگر مقدار این آماره بیش از $8/0$ باشد، همه‌ی تکرارها قابل اعتماد بوده و کل آزمایش پایدار داخلی محسوب می‌گردد. اگر آلفا کمتر از $8/0$ باشد، حداقل یکی از تکرارها معتبر نیست (Ho, 2006). به منظور تعیین بهترین تکرار آزمایش نفوذپذیری با این روش، مقدار آماره‌ی آلفای کرونباخ در صورت حذف هر یک از تکرارها با یکدیگر مورد مقایسه قرار گرفت. بدین ترتیب، تکراری که با حذف آن، مقدار این آماره کاهش بیشتری یافت، به عنوان بهترین تکرار انتخاب شد. همچنین، در صورتی که مقدار این آماره برای هر سه تکرار کمتر از $8/0$ بود و با حذف هیچ یک از تکرارها مقدار این آماره از $8/0$ بیشتر نشد، از نتایج آن آزمایش صرف‌نظر شده و وارد دیگر مراحل تجزیه و تحلیل نگردید. پس از تعیین بهترین تکرار آزمایش نفوذپذیری، پارامترهای برازشی هریک از مدل‌های نفوذ مورد بررسی به روش حداقل مربعات خطا تعیین گردید. به منظور تعیین پارامترهای مدل‌های موردنظر،تابع هدف به گونه‌ی زیر تعریف شد (Ghorbani et al., 2009):

$$SSE = \sum_{j=1}^n (I(m)_j - I(p)_j)^2 \quad (2)$$

که در آن: SSE: مجموع مربعات خطا (cm^2), $I(m)_j$: مقدار نفوذ تجمعی اندازه‌گیری شده در زمان j ام (cm), $I(p)_j$: مقدار نفوذ تجمعی برآورد شده برای زمان j ام (cm), n : تعداد مقایسه‌ها می‌باشد. صحّت عملکرد مدل‌های مورد بررسی در برآورد نفوذ تجمعی برای هر خاک با محاسبه‌ی آماره‌های میانگین خطای⁸ (ME), ریشه میانگین مربعات خطای⁹ (RMSE) ضریب همبستگی پیرسون¹⁰ (تعیین گردید). آماره‌های مورد نظر از طریق مقایسه‌ی مقادیر برآورد شده و اندازه‌گیری شده نفوذ تجمعی محاسبه شد. آماره‌های فوق به صورت زیر محاسبه می‌گردد (Ghorbani Dashtaki et al., 2009):

6-Internal Consistency

7-Cronbach's Alpha

8-Mean Error

9-Root Mean Square Error

فیلیپ، کوستیاکوف، کوستیاکوف-لوییز، هورتون و سازمان حفاظت خاک آمریکا در تبیین فرآیند نفوذ آب به خاک در برخی از کلاس‌های بافتی خاک و کاربری‌های اراضی بود.

مواد و روش‌ها

داده‌های مورد نیاز این پژوهش از طریق جمع آوری، داده‌های مورد استفاده در پژوهش‌های پیشین به دست آمد (Ghorbani, 2008; Dashtaki, 2008; Moravvej, 2008) این داده‌ها حاصل از مطالعات خاکشناسی صورت گرفته در مناطق مختلف کشور بود. بدین ترتیب، داده‌های حاصل از اندازه‌گیری نفوذ به روش استوانه‌های مضاعف در 210° نقطه از مناطق مختلف کشور به دست آمد. در آزمایش‌های فوق، اندازه‌گیری نفوذ تا زمانی که سرعت نفوذ به مقدار ثابتی برسد، ادامه یافتد. شکل (۱) پراکنش مناطق مطالعاتی در سطح کشور را نشان می‌دهد. مناطق مورد مطالعه دارای تنوع آب و هوایی گرم و خشک تا سرد و مرطوب و در نتیجه رژیم‌های رطوبتی و حرارتی متفاوت بودند. برخی از پیزگی‌های فیزیکی خاک‌های مناطق مورد مطالعه در جدول (۲) ارائه گردیده است. با توجه به این جدول، اکثر خاک‌های مورد مطالعه دارای مقادیر زیادی آهک بوده و در شمار خاک‌های آهکی قرار می‌گیرند.

خاک‌های مناطق مورد مطالعه در رده‌های خاکی مالی سول¹، اینسپتی سول²، انتی سول³ و اریدی سول⁴ قرار دارند. مطابق با شکل (۲)، بافت خاک افق سطحی مناطق مورد مطالعه شامل بافت‌های لوم شنی، لوم، لوم‌سیلتی، لوم رسی-سیلتی، رس رسی و رسی می‌باشد. رطوبت خاک در زمان شروع آزمایش نفوذپذیری از $7/0$ تا $7/4$ سانتی‌متر مکعب بر سانتی‌متر مکعب متغیر بود. دامنه‌ی تغییرات کربن آلی در خاک‌های مورد مطالعه بین $0/0$ تا $0/5$ درصد و دارای میانگین و انحراف معیاری به ترتیب، برابر با $0/74$ و $0/51$ درصد بود. بر اساس قرارداد علمی، هنگامی که آهنگ تغییرات سرعت نفوذ در مدت یک ساعت به اندازه‌ی 10 درصد باشد، سرعت نفوذ به حد نهایی خود رسیده است (USDA-NRCS, 2005). بر این اساس، میزان متوسط نفوذ تجمعی در زمان نفوذ پایه، بین $0/50$ تا $0/54$ سانتی‌متر در دشت لوئین، متغیر بود. کاربری در دشت کل تا $0/47$ سانتی‌متر در دشت لوئین، متغیر بود. اراضی که در آن‌ها آزمایش نفوذپذیری انجام شد، متفاوت و شامل کشت گندم، برنج، یونجه، مرتع، آیش و اراضی بایر بود. از آنجا که آزمایش‌های نفوذپذیری خاک در هر نقطه در سه تکرار انجام شده بود، به منظور بررسی اعتبار نتایج هر آزمایش و نیز تعیین بهترین تکرار از روش تحلیل اعتباریابی⁵ به روش پایایی داخلی⁶ استفاده گردید (Ho, 2009).

1-Mollisols

2-Inceptisols

3-Entisols

4-Aridisols

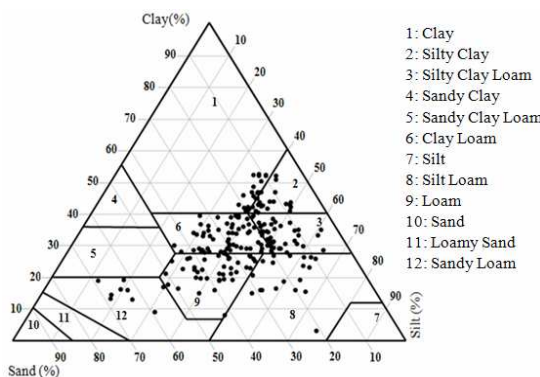
5-Reliability Analysis



شکل ۱- پراکنش مناطق مطالعاتی در سطح کشور

جدول ۲- دامنه‌ی تغییرات برخی از ویژگی‌های فیزیکی افق سطحی نیم‌رخ خاک بر اساس منطقه‌ی مطالعاتی

استان	منطقه	شن (%) (بیشینه- کمینه)	سیلت (%) (بیشینه- کمینه)	رس (%) (بیشینه- کمینه)	جرم و یزدی ظاهري (g cm ⁻³) (بیشینه- کمینه)	آهک (%) (بیشینه- کمینه)
آذربایجان شرقی	کردکندي	۲۷/۰ - ۴۳/۰	۲۸/۹ - ۳۸/۹	۲۸/۱ - ۳۴/۱	۱/۳۲ - ۱/۵۳	۵/۰ - ۷/۰
	بیله سوار	۷/۶ - ۴۲/۴	۳۸/۰ - ۴۹/۰	۱۹/۶ - ۵۰/۸	۱/۸۳ - ۱/۸۰	۱۰/۰ - ۲۰/۰
	دشت اردبیل	۱۲/۸ - ۴۶/۸	۲۸/۰ - ۶۴/۰	۱۹/۶ - ۴۶/۶	۱/۲۴ - ۱/۶۶	۶/۰ - ۱۴/۳
	زمزم	۲۲/۸ - ۶۲/۸	۲۱/۰ - ۴۹/۲	۱۶/۰ - ۳۴/۰	۱/۳۳ - ۱/۶۸	۵/۰ - ۲۱/۰
	سراب	۲۱/۲ - ۴۹/۶	۲۸/۰ - ۷۵/۷	۳/۱ - ۳۹/۴	۱/۴۰ - ۱/۵۸	۵/۰ - ۲۸/۰
اصفهان	برخوار	۳۲/۲ - ۶۷/۶	۱۸/۰ - ۴۶/۴	۱۴/۴ - ۲۱/۸	۱/۳۵ - ۱/۵۰	۲۱/۷ - ۳۵/۴
	زیگوان	۱۱/۶ - ۲۹/۶	۴۰/۰ - ۴۴/۴	۳۰/۴ - ۴۴/۰	۱/۴۷ - ۱/۵۷	۰/۰ - ۵/۰
	دشت کل	۱۰/۷ - ۳۳/۰	۴۴/۱ - ۶۶/۷	۱۵/۶ - ۳۴/۹	۱/۳۷ - ۱/۵۸	۵۰/۰ - ۶۰/۶
	دالکی	۴/۰ - ۶۱/۰	۳۴/۰ - ۶۶/۰	۸/۰ - ۴۸/۰	۰/۹۶ - ۱/۷۱	۵/۰ - ۲۰/۰
	عمان سامان	۱۵/۲ - ۳۴/۴	۳۱/۶ - ۴۱/۳	۳۳/۰ - ۴۶/۰	۱/۴۵ - ۱/۶۶	۵/۰ - ۱۰/۰
زنجان	گرماب	۵/۰ - ۴۵/۴	۳۲/۰ - ۶۱/۰	۱۹/۲ - ۴۵/۲	۱/۲۵ - ۱/۵۴	۱۳/۲ - ۴۰/۷
	دوتبه	۱۳/۲ - ۲۳/۲	۳۷/۸ - ۳۹/۸	۳۹/۰ - ۴۷/۰	۱/۴۵ - ۱/۶۰	۱۰/۰ - ۱۵/۰
	زرینآباد	۹/۰ - ۶۳/۰	۲۴/۰ - ۵۰/۰	۱۳/۰ - ۴۷/۰	۱/۳۰ - ۱/۵۰	۱۰/۲ - ۳۴/۸
	سد ملاصدرا	۶/۸ - ۲۸/۸	۴۰/۴ - ۴۹/۰	۲۳/۲ - ۵۲/۲	۱/۱۷ - ۱/۵۵	۵/۰ - ۵۰/۸
	قیر و کارزین	۷/۳ - ۵۹/۳	۲۸/۰ - ۶۴/۰	۹/۰ - ۴۳/۷	۱/۲۴ - ۱/۵۴	۲۵/۷ - ۶۵/۳
فارس	باباهاي	۱۸/۳ - ۵۳/۲	۲۹/۸ - ۵۰/۷	۱۷/۰ - ۳۱/۰	۱/۵۹ - ۱/۶۹	۰/۰ - ۱۰/۰
	کوزره	۱۷/۳ - ۴۰/۶	۳۴/۹ - ۴۷/۲	۱۹/۸ - ۴۱/۰	۱/۳۸ - ۱/۷۴	۰/۰ - ۵/۰
	شیرآوند	۱۲/۶ - ۲۹/۰	۳۹/۰ - ۴۷/۸	۳۲/۰ - ۴۲/۰	۱/۶۱ - ۱/۸۰	۵/۰ - ۱۰/۰
	دشت لوئن	۶۲/۰ - ۶۸/۰	۱۲/۲ - ۱۸/۷	۱۹/۳ - ۲۰/۶	۱/۶۴ - ۱/۶۶	۰/۰ - ۵/۰
	میقان	۲۲/۴ - ۵۱/۷	۳۰/۷ - ۴۸/۳	۱۷/۶ - ۳۶/۷	۱/۴۶ - ۱/۶۹	۰/۰ - ۵/۰
مرکزی	مجموع	۴/۰ - ۶۸/۰	۱۲/۲ - ۷۵/۷	۳/۱ - ۵۲/۲	۰/۹۶ - ۱/۸۰	۰/۰ - ۶۵/۳



شکل ۲- توزیع بافتی خاک افق سطحی در مناطق مورد مطالعه

عملکرد بهتری در برآوردن نفوذ تجمیعی خواهد بود. همچنین، از آنجا که انحراف معیار یک آماره بیانگر دقت و منظم بودن یک آماره بوده و پراکنش داده‌ها را حول میانگین نشان می‌دهد، از انحراف معیار آماره‌ی (SDRMSE) RMSE نیز برای ارزیابی مدل‌ها استفاده قرار گردید. آماره‌های فوق برای رتبه‌بندی نهایی مدل‌ها مورد استفاده قرار گرفت. با توجه به هریک از آماره‌ها رتبه‌ای به مدل‌های مورد بررسی داده شد که میانگین این رتبه‌ها، به عنوان رتبه‌ی نهایی هریک از مدل‌ها در نظر گرفته شد.

نتایج و بحث

دامنه‌ی تغییرات پارامترها و نیز آماره‌ی مجموع مربعات خطای برآش (SSE) مدل‌های نفوذ مورد بررسی در جدول (۳) ارائه شده است. بر اساس این جدول، مقادیر میانگین آماره‌ی SSE بیانگر آن است که مدل کوستیاکوف-لوییز در مقایسه با سایر مدل‌های نفوذ مورد بررسی، با خطای کمتری بر داده‌ها آزمایش نفوذپذیری برآش یافته است. مقایسه‌ی مقادیر آماره‌ی SSE و نیز پارامترهای مدل کوستیاکوف با مدل کوستیاکوف-لوییز، حاکی از تفاوت ذاتی این دو مدل می‌باشد. در در اکثر مقالات نوع نگارش مدل‌های کوستیاکوف و کوستیاکوف-لوییز به گونه‌ای است که نشان می‌دهد، مدل کوستیاکوف-لوییز معادل با مدل کوستیاکوف با عبارت اضافه‌ی Sepaskhah and Afshar-Chamnabad, 2002; (*A't*) می‌باشد (Holzapfel *et al.*, 2004). اما مقایسه‌ی پارامترها و مقادیر آماره‌ی SSE مدل‌های فوق حاکی از آن است که این دو مدل کاملاً متفاوت از هم می‌باشند. بدین معنی که اگر به هنگام کاربرد مدل کوستیاکوف-لوییز، از مقادیر پارامترهای *k* و *b* در مدل کوستیاکوف استفاده شود، استفاده از مدل کوستیاکوف-لوییز مزبته‌ی بر مدل کوستیاکوف نخواهد داشت. همان‌گونه که در جدول (۳) نیز مشاهده می‌گردد، محدوده‌ی پارامترهای این دو مدل نیز با هم متفاوت است. لذا، پیشنهاد می‌شود در نگارش و کاربرد این دو مدل از پارامترهای مشابه استفاده نگردد.

$$ME = \frac{\sum_{j=1}^n I(p)_j - I(m)_j}{n} \quad (3)$$

$$RMSE = \sqrt{\frac{\sum_{j=1}^n (I(p)_j - I(m)_j)^2}{n}} \quad (4)$$

$$r = \frac{\sum_{j=1}^n (I(p)_j - \bar{I}(p)_j)(I(m)_j - \bar{I}(m)_j)}{\sqrt{\sum_{j=1}^n (I(p)_j - \bar{I}(p)_j)^2 \times \sum_{j=1}^n (I(m)_j - \bar{I}(m)_j)^2}} \quad (5)$$

مقدار آماره‌ی میانگین خطای بیانگر آن است که مدل مورد بررسی نفوذ تجمیعی را بیش برآورد^۱ (مقادیر مثبت) یا کم برآورد^۲ (مقادیر منفی) می‌نماید. برای برآورده مطمئن از نفوذ تجمیعی باید مقدار قدرمطلق این آماره تا حد امکان کوچک باشد. مقدار آماره‌ی ریشه میانگین مربعات خطای همواره مثبت بوده و با نزدیک شدن آن به صفر، عملکرد مدل مورد بررسی بهبود می‌یابد. آماره‌ی ضریب همبستگی پیرسون شخصی برای اندازه‌گیری خطی بودن رابطه‌ی بین مقادیر اندازه‌گیری شده و برآورده شده است. هرچه مقدار آن به یک نزدیکتر باشد، رابطه‌ی خطی مورد نظر مشهودتر خواهد بود. یکی دیگر از آماره‌هایی که برای ارزیابی مدل‌های نفوذ مورد بررسی در برآوردن نفوذ تجمیعی به کار گرفته شد، آماره‌ی میانگین قدرمطلق میانگین خطاهای (MAME) برآورده نفوذ تجمیعی در خاک‌های مختلف بود. تفاوت این آماره با آماره‌ی میانگین خطاهای (MME) آن است که خطای ناشی از سرشکن شدن خطاهای برآورده در خاک‌های مختلف، وارد فرآیند ارزیابی مدل‌ها نمی‌شود و مقدار آن متاثر از مقادیر مثبت و منفی خطای برآورده در تک‌تک خاک‌ها نخواهد بود. با توجه به آنچه گفته شد، مدلی که از میانگین قدرمطلق ME (MAME) و میانگین (MRMSE) RMSE بیشتری برخوردار باشد، نسبت به دیگر مدل‌ها، دارای

1-Overestimate

2-Underestimate

هورتون در همهٔ بافت‌های مورد بررسی به جز بافت‌های لوم رسی و لوم سیلتی به طور سیستماتیک کم‌برآورده بوده است. همین‌طور، مقادیر آماره‌ی MRMSE بیانگر آن است که در مقایسه با سایر مدل‌ها، مدل کوستیاکوف-لوییز در تمامی کلاس‌های بافتی مورد بررسی، مقدار نفوذ تجمعی را با خطای کمتری برآورده نموده است. مقدار این آماره، برای مدل‌های کوستیاکوف-لوییز، فیلیپ و گرین و امپت در بافت رسی (سنگین‌ترین بافت مورد بررسی) و برای مدل‌های هورتون، کوستیاکوف و SCS نیز در خاک لوم شنی (سبک‌ترین بافت مورد بررسی) به حداقل مقدار خود رسیده است. همچنین، مقدار این آماره برای مدل‌های کوستیاکوف-لوییز، کوستیاکوف، SCS، در بافت لوم رسی-سیلتی و برای مدل‌های هورتون، گرین و امپت و فیلیپ در بافت لوم سیلتی دارای حداقل مقدار خود بوده است. مقادیر آماره‌ی انحراف معیار RMSE‌ها بیانگر آن است که نسبت به سایر مدل‌های مورد بررسی، مدل‌های SCS، کوستیاکوف-لوییز و هورتون نفوذ تجمعی را با دقّت یکسان‌تری در هریک از کلاس‌های بافتی خاک برآورده‌اند و از این لحاظ مدل‌های کوستیاکوف، فیلیپ و گرین و امپت در ردّه‌های بعدی ارزیابی قرار می‌گیرند. همچنین، بررسی مقادیر آماره‌ی میانگین ضربی همبستگی پرسون نیز حاکی از آن است که در سایر کلاس‌های بافتی خاک، مدل‌های کوستیاکوف-لوییز و هورتون، برآش بیهتری بر داده‌های آزمایش نفوذپذیری داشته‌اند. در جدول (۴)، عددی که در داخل پرانتز و در کنار مقادیر انحراف از معیار رتبه‌ی نهایی مدل‌ها ذکر شده است، بیانگر رتبه‌ی هر مدل به لحاظ پایداری رتبه‌ی عملکرد آن در کلاس‌های بافتی مختلف می‌باشد. مقایسه‌ی انحراف معیار رتبه‌ی عملکرد هر یک از مدل‌ها حاکی از آن است که عملکرد مدل کوستیاکوف در مقایسه با دیگر مدل‌ها، بیشترین وابستگی را به نوع بافت خاک داشته و در بافت‌های مختلف عملکرد متفاوت‌تری از خود نشان داده است. در حالی که مدل‌های کوستیاکوف-لوییز و هورتون در بافت‌های مختلف، عملکرد پایداری داشته‌اند.

مقایسه‌ی عملکرد مدل‌های نفوذ در کاربرهای مختلف اراضی: مقادیر آماره‌های ارزیابی و رتبه‌ی عملکرد هر یک از مدل‌های نفوذ مورد بررسی به تفکیک کاربری‌های اراضی در جدول (۵) ارایه شده است. در این جدول، اعداد داخل پرانتز، بیانگر رتبه‌ی هر مدل بر اساس آماره‌ی مربوطه می‌باشد.

با توجه به این جدول و مقادیر آماره‌ی MRMSE، مشاهده می‌گردد که مدل کوستیاکوف-لوییز در همهٔ کاربری‌های مورد بررسی به جز کاربری برنج دارای کمترین خطای برآورده نفوذ تجمعی بوده است. در کاربری برنج، مدل هورتون دارای حداقل مقدار آماره‌ی MRMSE می‌باشد.

چراکه حاصل آن افزایش مقدار خطا در برآذش بهنگام استفاده از مدل کوستیاکوف-لوییز خواهد بود.

جدول ۳ - بررسی دامنهٔ تغییرات مدل‌های نفوذ مورد بررسی

نام مدل	پارامترهای مدل	حداقل حداکثر میانگین ضربی تغییرات
کوستیاکوف	۱/۱۲۵ ۰/۲۰۶	۰/۸۶۲ ۰/۶۶۷
	۷/۳۰۶	۷/۲۵۵ ۰/۹۹۰
کوستیاکوف-لوییز	۰/۸۸۶ ۰/۳۲۰ ۱/۰۴۴	۰/۳۲۲ ۰/۰۰۷ ۰/۰۰۷
	۴/۹۸۸	SSE ۷/۲۵۵ ۰/۰۱۰ ۰/۰۰۰ ۰/۰۰۵
هورتون	۰/۷۷۲ ۰/۹۴۶ ۱/۱۸۱	۰/۰۰۰ ۰/۱۲۲ ۰/۰۰۰
	۳/۶۶۲	SSE ۳/۲۲۳ ۰/۱۱۳ ۵/۷۱۶
SCS	۱/۳۳۵ ۰/۱۹۰	۰/۰۰۹ ۰/۰۰۹
	۳/۵۴۴	SSE ۷/۰۳۸ ۰/۰۰۰
فیلیپ	۰/۹۴۴ ۱/۰۴۵	۰/۰۱۰ ۰/۰۰۰
	۳/۹۴۵	SSE ۸/۳۴۱ ۰/۳۴۸ ۰/۰۰۸
گرین و امپت	۱/۰۱۶ ۳/۲۶۷	۰/۰۰۰ ۰/۰۰۰
	۳/۷۲۴	SSE ۰/۶۴۰ ۰/۰۰۰

مقایسه‌ی عملکرد مدل‌های نفوذ در کلاس‌های بافتی خاک: مقادیر آماره‌های ارزیابی و رتبه‌ی عملکرد هر یک از مدل‌های نفوذ مورد بررسی به تفکیک کلاس‌های بافت خاک در جدول (۴) ارایه گردیده است. در این جدول، اعداد داخل پرانتز، بیانگر رتبه‌ی هر مدل بر اساس آماره‌ی مربوطه می‌باشد. با توجه به این جدول، مقایسه‌ی مقادیر آماره‌ی MME بیانگر آن است که مدل‌های کوستیاکوف-لوییز و هورتون در همهٔ کلاس‌های بافت خاک نفوذ تجمعی را بهترین، بیش‌برآورده و کم‌برآورده نموده‌اند. همچنین، مدل در همهٔ کلاس‌های بافت خاک به جز بافت لوم رسی (سبک‌ترین بافت مورد بررسی) مقدار نفوذ را بیش‌برآورده نموده است. مدل کوستیاکوف نیز در تمامی کلاس‌های بافت خاک مورد بررسی، مقدار نفوذ تجمعی را کم‌برآورده نموده است. مدل فیلیپ نیز در همهٔ کلاس‌های بافت خاک مورد بررسی به جز بافت رسی، لوم رسی، کم‌برآورده بوده است. مدل گرین و امپت نیز در تمام کلاس‌های بافتی مورد بررسی به جز بافت، لوم رسی و سیلتی ولوم رسی، نفوذ تجمعی را بیشتر از مقدار واقعی برآورده نموده است. همچنین، از آنجا که مقادیر آماره‌های MME برای مدل هورتون، در همهٔ بافت‌ها به جز بافت‌های لوم رسی و لوم سیلتی برابر می‌باشد، می‌توان نتیجه گرفت که مدل

جدول ۴- مقادیر آماره‌های ارزیابی و رتبه‌ی عملکرد هر یک از مدل‌های مورد بررسی در کلاس‌های بافتی خاک

نام مدل							بافت خاک	آماره‌ی ارزیابی
گرین و امپت	فیلیپ	SCS	کوستیاکوف	هورتون	کوستیاکوف-لویز	کوستیاکوف-لویز		
-۰/۹۹۷۵(۵)	-۰/۹۹۵۹(۶)	-۰/۹۹۷۷(۴)	-۰/۹۹۸۰(۳)	-۰/۹۹۹۰(۱)	-۰/۹۹۸۵(۲)	-۰/۹۹۸۵(۲)	MPearson	
-۰/۲۵۴۱	-۰/۰۰۳۶	-۰/۰۸۸۹	-۰/۰۲۱۶	-۰/۰۲۱۲	-۰/۰۵۹۳	-۰/۰۵۹۳	MME (cm)	
-۰/۴۶۲۰(۶)	-۰/۱۷۶۸(۵)	-۰/۱۳۵۷(۴)	-۰/۱۰۴۹(۲)	-۰/۱۲۱۲(۳)	-۰/۰۷۱۶(۱)	-۰/۰۷۱۶(۱)	MAME (cm)	رسی
-۰/۸۳۶۷(۶)	-۰/۷۲۰۸(۵)	-۰/۶۸۳۳(۴)	-۰/۶۲۶۶(۳)	-۰/۰۵۵۰(۲)	-۰/۰۴۸۲۵(۱)	-۰/۰۴۸۲۵(۱)	MRMSE (cm)	
-۰/۶۶۹۶(۶)	-۰/۴۵۲۲(۵)	-۰/۳۱۵۵(۱)	-۰/۰۳۹۹۸(۳)	-۰/۰۴۳۳۹(۴)	-۰/۰۳۶۴۹(۲)	-۰/۰۳۶۴۹(۲)	SDRMSE (cm)	
۶	۵	۴	۳	۲	۱		رتبه‌ی نهایی	
-۰/۹۹۸۵(۴)	-۰/۹۹۷۷(۵)	-۰/۹۹۶۵(۶)	-۰/۹۹۸۶(۳)	-۰/۹۹۹۰(۲)	-۰/۹۹۹۴(۱)	-۰/۹۹۹۴(۱)	MPearson	
-۰/۰۹۷۶	-۰/۰۰۱۶۵	-۰/۰۱۰۶	-۰/۰۱۹۸	-۰/۰۹۲۳	-۰/۰۳۹	-۰/۰۳۹	MME (cm)	
-۰/۳۶۰۷(۶)	-۰/۱۶۰۳(۵)	-۰/۱۱۹۶(۴)	-۰/۰۶۴۳(۲)	-۰/۰۹۲۲(۳)	-۰/۰۳۵۳(۱)	-۰/۰۳۵۳(۱)	MAME (cm)	رس سیلتی
-۰/۶۹۷۹(۶)	-۰/۰۶۰۵(۵)	-۰/۰۵۶۲۲(۴)	-۰/۰۴۸۲۰(۳)	-۰/۰۴۸۰۱(۲)	-۰/۰۳۹۶۰(۱)	-۰/۰۳۹۶۰(۱)	MRMSE (cm)	
-۰/۶۶۸۳(۶)	-۰/۰۶۲۸(۵)	-۰/۰۳۱۴۰(۲)	-۰/۰۴۰۳۶(۴)	-۰/۰۲۹۸۹(۱)	-۰/۰۳۵۸۲(۳)	-۰/۰۳۵۸۲(۳)	SDRMSE (cm)	
۶	۵	۴	۳	۲	۱		رتبه‌ی نهایی	
-۰/۹۹۶۲(۶)	-۰/۹۹۶۴(۵)	-۰/۹۹۶۷(۴)	-۰/۰۹۹۷۰(۳)	-۰/۰۹۹۸۸(۲)	-۰/۰۹۹۹۱(۱)	-۰/۰۹۹۹۱(۱)	MPearson	
-۰/۰۹۶۳	-۰/۰۵۷۱	-۰/۰۱۷۵	-۰/۰۲۷۹	-۰/۰۴۷۲	-۰/۰۱۰۹	-۰/۰۱۰۹	MME (cm)	
-۰/۱۹۵۹(۶)	-۰/۰۹۶۳(۵)	-۰/۰۸۲۵(۴)	-۰/۰۰۳۹۳(۲)	-۰/۰۴۷۲(۳)	-۰/۰۱۲۳(۱)	-۰/۰۱۲۳(۱)	MAME (cm)	لوم رسی-سیلتی
-۰/۰۵۷۱(۶)	-۰/۰۱۰۱۹(۵)	-۰/۰۱۱۷(۴)	-۰/۰۱۱۴۹(۲)	-۰/۰۲۲۱۲(۲)	-۰/۰۱۳۹۵(۱)	-۰/۰۱۳۹۵(۱)	MRMSE (cm)	
-۰/۰۴۴۷۸(۶)	-۰/۰۳۳۷۸(۵)	-۰/۰۱۰۵(۱)	-۰/۰۱۷۷۸(۴)	-۰/۰۱۵۸۷(۳)	-۰/۰۱۳۸۵(۲)	-۰/۰۱۳۸۵(۲)	SDRMSE (cm)	
۵	۴	۳	۲	۱			رتبه‌ی نهایی	
-۰/۹۹۸۷(۲)	-۰/۹۹۷۷(۵)	-۰/۹۹۷۵(۶)	-۰/۰۹۹۸۰(۴)	-۰/۰۹۹۸۴(۳)	-۰/۰۹۹۹۵(۱)	-۰/۰۹۹۹۵(۱)	MPearson	
-۰/۰۵۷۲	-۰/۰۰۱۲	-۰/۰۴۶۵	-۰/۰۶۸۸	-۰/۰۷۸۲	-۰/۰۳۰۵	-۰/۰۳۰۵	MME (cm)	
-۰/۱۹۱۱(۶)	-۰/۰۱۰۷۰(۳)	-۰/۰۱۰۷۷(۴)	-۰/۰۱۲۰۱(۵)	-۰/۰۰۸۴۱(۲)	-۰/۰۰۳۳۹(۱)	-۰/۰۰۳۳۹(۱)	MAME (cm)	لوم رسی
-۰/۰۴۹۲۶(۶)	-۰/۰۴۶۷۲(۳)	-۰/۰۵۳۵۰(۵)	-۰/۰۵۳۹۴(۶)	-۰/۰۴۵۰۱(۲)	-۰/۰۳۲۰۶(۱)	-۰/۰۳۲۰۶(۱)	MRMSE (cm)	
-۰/۰۸۰۸۴(۶)	-۰/۰۷۱۳۹(۵)	-۰/۰۵۵۲۱(۲)	-۰/۰۸۳۲۲۲(۴)	-۰/۰۵۹۶۵(۳)	-۰/۰۵۳۵۴(۱)	-۰/۰۵۳۵۴(۱)	SDRMSE (cm)	
۵	۴	۳	۲	۱			رتبه‌ی نهایی	
-۰/۹۹۹۰(۶)	-۰/۹۹۹۲(۳)	-۰/۹۹۷۶(۶)	-۰/۰۹۹۸۵(۵)	-۰/۰۹۹۹۳(۲)	-۰/۰۹۹۹۷(۱)	-۰/۰۹۹۹۷(۱)	MPearson	
-۰/۰۱۰۰	-۰/۰۰۲۱۷	-۰/۰۵۷۴	-۰/۰۵۴۲	-۰/۰۳۰۰	-۰/۰۰۰۲	-۰/۰۰۰۲	MME (cm)	
-۰/۱۰۳۰(۶)	-۰/۰۵۸۴(۳)	-۰/۰۹۱۲(۵)	-۰/۰۶۰۵(۴)	-۰/۰۳۵۱۲(۲)	-۰/۰۱۴۹۱(۱)	-۰/۰۱۴۹۱(۱)	MAME (cm)	لوم سیلتی
-۰/۰۲۷۳۳(۵)	-۰/۰۲۵۵۴(۳)	-۰/۰۳۳۹۰(۶)	-۰/۰۲۸۹۲(۴)	-۰/۰۲۰۱۱(۲)	-۰/۰۱۵۶۴(۱)	-۰/۰۱۵۶۴(۱)	MRMSE (cm)	
-۰/۰۲۳۳۵(۵)	-۰/۰۲۰۴۵(۴)	-۰/۰۱۴۷۲(۲)	-۰/۰۲۶۵۷(۶)	-۰/۰۱۲۵۴(۱)	-۰/۰۱۷۸۵(۳)	-۰/۰۱۷۸۵(۳)	SDRMSE (cm)	
۵	۴	۳	۲	۱			رتبه‌ی نهایی	
-۰/۹۹۷۲(۶)	-۰/۹۹۶۷(۵)	-۰/۹۹۵۳(۶)	-۰/۰۹۹۷۶(۳)	-۰/۰۹۹۸۷(۱)	-۰/۰۹۹۸۳(۲)	-۰/۰۹۹۸۳(۲)	MPearson	
-۰/۰۵۱۹	-۰/۰۰۴۶۵	-۰/۰۴۹	-۰/۰۶۸۸	-۰/۰۶۶۶	-۰/۰۱۷۴	-۰/۰۱۷۴	MME (cm)	
-۰/۱۹۱۷(۶)	-۰/۰۰۹۰۰(۴)	-۰/۰۰۸۵۸(۳)	-۰/۰۰۹۰۰(۵)	-۰/۰۰۶۶۶(۲)	-۰/۰۰۱۹۵(۱)	-۰/۰۰۱۹۵(۱)	MAME (cm)	لوم
-۰/۰۴۵۰۳(۶)	-۰/۰۴۰۸۷(۳)	-۰/۰۴۴۹۸(۵)	-۰/۰۴۴۲۰(۴)	-۰/۰۳۵۵۷(۲)	-۰/۰۲۶۴۲(۱)	-۰/۰۲۶۴۲(۱)	MRMSE (cm)	
-۰/۰۸۳۷۷(۶)	-۰/۰۵۷۹۵(۵)	-۰/۰۳۰۵۳(۱)	-۰/۰۳۸۳۵(۴)	-۰/۰۳۳۴۵(۲)	-۰/۰۳۲۳۶(۲)	-۰/۰۳۲۳۶(۲)	SDRMSE (cm)	
۵	۴	۳	۲	۱			رتبه‌ی نهایی	
-۰/۹۹۸۴(۳)	-۰/۹۹۸۰(۴)	-۰/۹۹۷۵(۵)	-۰/۰۹۹۷۲(۶)	-۰/۰۹۹۹۱(۱)	-۰/۰۹۹۸۷(۲)	-۰/۰۹۹۸۷(۲)	MPearson	
-۰/۰۴۵۸	-۰/۰۰۴۶۶	-۰/۰۸۲۵	-۰/۰۲۰۳۹	-۰/۰۱۶۲۶	-۰/۰۰۹۰۸	-۰/۰۰۹۰۸	MME (cm)	
-۰/۱۹۷۸(۶)	-۰/۱۲۹۸(۳)	-۰/۱۲۶۴(۲)	-۰/۰۲۱۵۹(۶)	-۰/۰۱۶۲۶(۴)	-۰/۰۱۱۷(۱)	-۰/۰۱۱۷(۱)	MAME (cm)	لوم شنی
-۰/۰۸۳۰۳(۳)	-۰/۰۶۱۶۵(۲)	-۰/۰۶۹۵۹(۵)	-۰/۰۸۲۵۳(۶)	-۰/۰۷۷۴۳(۴)	-۰/۰۴۲۶۰(۱)	-۰/۰۴۲۶۰(۱)	MRMSE (cm)	
-۰/۰۶۱۰۲(۶)	-۰/۰۵۱۸۴(۵)	-۰/۰۳۰۵۵(۱)	-۰/۰۴۸۲۹(۴)	-۰/۰۴۳۷۱(۳)	-۰/۰۳۳۱۹(۲)	-۰/۰۳۳۱۹(۲)	SDRMSE (cm)	
۵	۴	۳	۲	۱			رتبه‌ی نهایی	
-۰/۰۳(۲)	-۰/۹۰(۳)	-۰/۰۵۳(۲)	-۰/۰۵۳(۴)	-۰/۰۰(۱)	-۰/۰۰(۱)	-۰/۰۰(۱)	انحراف میار رتبه‌های نهایی	
							رتبه	

جدول ۵- مقادیر آماره‌های ارزیابی و رتبه‌ی عملکرد هر یک از مدل‌های مورد بررسی در کاربری‌های مختلف اراضی

نام مدل							نوع کاربری
گرین و امپت	فلیلپ	SCS	کوستیاکوف	هورتون	کوستیاکوف-لوییز		آماره‌ی ارزیابی
۰/۹۹۷۲(۶)	۰/۹۹۷۶(۵)	۰/۹۹۸۰(۴)	۰/۹۹۸۵(۳)	۰/۹۹۹۰(۲)	۰/۹۹۹۵(۱)	گندم	MPearson
۰/۰۱۶۵	-۰/۰۰۴۶	۰/۰۵۶	-۰/۰۶۱۵	-۰/۰۶۸۵	۰/۰۲۸۶		MME (cm)
۰/۱۷۶۴(۶)	۰/۰۹۳۱(۳)	۰/۰۹۴۴(۴)	۰/۱۰۶۴(۵)	۰/۰۶۹۱(۲)	۰/۰۲۹۸(۱)		MAME (cm)
۰/۴۴۷۹(۴)	۰/۰۴۰۵(۳)	۰/۰۴۸۰(۴)	۰/۰۴۸۶۸(۵)	۰/۰۳۱۸۷(۴)	۰/۰۲۹۴۲(۱)		MRMSE (cm)
۰/۷۳۴۳(۶)	۰/۰۶۸۸۳(۵)	۰/۰۴۵۶۴(۲)	۰/۰۵۷۵۸(۴)	۰/۰۳۹۸۲(۱)	۰/۰۵۰۰۵(۳)		SDRMSE (cm)
۶	۴	۳	۵	۲	۱	رتبه‌ی نهایی	
۰/۹۹۸۱(۴)	۰/۰۹۹۸۶(۳)	۰/۰۹۹۷۱(۶)	۰/۰۹۹۷۵(۵)	۰/۰۹۹۹۱(۲)	۰/۰۹۹۹۷(۱)	مرتع	MPearson
-۰/۰۱۶۸	-۰/۰۰۵۱	۰/۰۴۸۸	-۰/۰۶۷۰	-۰/۰۷۳۸	۰/۰۱۹۸		MME (cm)
۰/۲۰۷۸(۶)	۰/۰۹۰۹(۵)	۰/۰۸۵۱(۳)	۰/۰۸۸۴(۴)	۰/۰۷۶۵(۲)	۰/۰۲۰۵(۱)		MAME (cm)
۰/۳۳۴۴(۶)	۰/۰۳۸۱۸(۳)	۰/۰۴۲۲۰(۵)	۰/۰۴۰۲۲(۴)	۰/۰۳۶۰۹(۲)	۰/۰۲۲۳۸(۱)		MRMSE (cm)
۰/۳۳۳۹(۶)	۰/۰۲۳۵۸(۴)	۰/۰۱۶۰۷(۲)	۰/۰۲۸۲۱(۵)	۰/۰۲۱۳۸(۳)	۰/۰۱۳۰۰(۱)		SDRMSE (cm)
۶	۳	۴	۵	۲	۱	رتبه‌ی نهایی	
۰/۹۹۶۵(۴)	۰/۰۹۹۶۰(۵)	۰/۰۹۹۵۴(۶)	۰/۰۹۹۶۹(۳)	۰/۰۹۹۸۲(۱)	۰/۰۹۹۷۵(۲)	آیش	MPearson
۰/۰۲۵۲	-۰/۰۳۰۳	۰/۰۵۸۶	-۰/۰۵۰۸	-۰/۰۵۱۲	۰/۰۹۳۹		MME (cm)
۰/۱۰۱۸(۶)	۰/۰۵۶۷(۳)	۰/۰۸۴۲(۵)	۰/۰۶۰۲(۴)	۰/۰۵۱۲(۲)	۰/۰۱۱۴(۱)		MAME (cm)
۰/۲۶۸۰(۵)	۰/۰۲۳۹۹(۲)	۰/۰۲۲۶۳(۶)	۰/۰۲۵۴۶(۴)	۰/۰۲۵۰۱(۳)	۰/۰۱۴۱۶(۱)		MRMSE (cm)
۰/۱۶۶۳(۳)	۰/۰۱۸۸۸(۴)	۰/۰۱۴۱۸(۲)	۰/۰۲۳۲۸(۶)	۰/۰۲۱۵۶(۵)	۰/۰۱۲۱۸(۱)		SDRMSE (cm)
۵	۳	۶	۴	۲	۱	رتبه‌ی نهایی	
۰/۹۹۴۵(۳)	۰/۰۹۹۱۳(۶)	۰/۰۹۹۲۴(۵)	۰/۰۹۹۳۸(۴)	۰/۰۹۹۸۱(۲)	۰/۰۹۹۸۴(۱)	برنج	MPearson
-۰/۲۱۲۸	۰/۰۶۱۵	۰/۲۰۰۹	۰/۰۴۵۷	-۰/۰۴۹۴	۰/۰۶۵۰		MME (cm)
۰/۲۶۰۲(۶)	۰/۱۳۹۰(۴)	۰/۰۲۰۰۹(۵)	۰/۰۷۰۲(۳)	۰/۰۴۹۴(۱)	۰/۰۶۵۰(۲)		MAME (cm)
۰/۴۶۶۰(۵)	۰/۰۲۲۸۸(۴)	۰/۰۵۰۱۲(۶)	۰/۰۳۱۴۸(۳)	۰/۰۲۱۰۵(۱)	۰/۰۲۸۴۷(۲)		MRMSE (cm)
۰/۷۳۲۹(۶)	۰/۰۵۹۰۳(۵)	۰/۰۴۵۴۷(۲)	۰/۰۴۵۹۸(۳)	۰/۰۳۴۰۷(۱)	۰/۰۴۷۹۷(۴)		SDRMSE (cm)
۶	۴	۵	۳	۱	۲	رتبه‌ی نهایی	
۰/۹۹۸۷(۴)	۰/۰۹۹۹۱(۳)	۰/۰۹۹۸۴(۵)	۰/۰۹۹۷۹(۶)	۰/۰۹۹۹۵(۲)	۰/۰۹۹۹۹(۱)	اراضی بایر	MPearson
-۰/۰۳۰۶	-۰/۰۴۸۸	-۰/۰۶۹۷	-۰/۱۷۹۸	-۰/۰۹۶۰	۰/۰۰۳۷		MME (cm)
۰/۱۱۸۷(۵)	۰/۰۷۸۱۴(۲)	۰/۰۱۰۰۱(۴)	۰/۰۷۸۸(۶)	۰/۰۶۰۲(۳)	۰/۰۰۵۶(۱)		MAME (cm)
۰/۰۵۰۲۸(۶)	۰/۰۳۴۴۲(۳)	۰/۰۴۹۱۰(۵)	۰/۰۳۵۹۳(۴)	۰/۰۳۳۸۳(۲)	۰/۰۲۰۴۰(۱)		MRMSE (cm)
۰/۲۴۳۵(۵)	۰/۰۱۸۵۶(۳)	۰/۰۲۰۹۵(۴)	۰/۰۳۰۰۹(۶)	۰/۰۱۵۱۲(۲)	۰/۰۰۸۷۶(۱)		SDRMSE (cm)
۵	۳	۴	۶	۲	۱	رتبه‌ی نهایی	
۰/۹۹۴۱(۶)	۰/۰۹۹۳۸(۵)	۰/۰۹۹۱۲(۶)	۰/۰۹۹۷۶(۳)	۰/۰۹۹۹(۱)	۰/۰۹۹۸۲(۲)	یونجه	MPearson
-۰/۰۵۵۴	۰/۰۶۲۴	۰/۱۰۶۰	-۰/۰۴۳	-۰/۰۵۶۵	۰/۰۲۱۷		MME (cm)
۰/۲۱۷۰(۶)	۰/۰۱۰۸۱(۴)	۰/۰۱۱۳۶(۵)	۰/۰۵۳۱(۲)	۰/۰۵۶۵(۳)	۰/۰۲۴۳(۱)		MAME (cm)
۰/۴۱۷۶(۶)	۰/۰۳۸۶۵(۴)	۰/۰۴۰۲۷(۵)	۰/۰۳۹۸۵(۳)	۰/۰۲۵۳۱(۲)	۰/۰۲۲۱۱(۱)		MRMSE (cm)
۰/۳۸۷۳(۶)	۰/۰۳۵۸۵(۵)	۰/۰۱۲۶۹(۱)	۰/۰۲۰۱۹(۳)	۰/۰۲۵۵۴(۴)	۰/۰۱۶۳۸(۲)		SDRMSE (cm)
۶	۵	۴	۳	۲	۱	رتبه‌ی نهایی	
۰/۵۲(۲)	۰/۰۹۸۲(۳)	۰/۰۹۸۳(۲)	۰/۰۲۱۴(۳)	۰/۰۴۱۱(۱)	۰/۰۴۱۱(۱)	انحراف معیار رتبه‌های نهایی	

کاربری‌های مورد بررسی به ترتیب، کمبرآورده و بیشبرآورده بوده‌اند. همین‌طور، مدل‌های کوستیاکوف (به جز در کاربری برنج) و مدل فیلیپ (به جز در کاربری برنج و یونجه)، مدل‌هایی کمبرآورده بوده‌اند. از سوی دیگر، با توجه به برابر بودن مقادیر قدرمطلق آماره‌ی MME و آماره‌ی MAME برای مدل هورتون، در کاربری‌های آیش، برنج، یونجه و اراضی بایر می‌توان نتیجه گرفت که مدل هورتون در کاربرهای یاد شده به طور سیستماتیک کمبرآورده بوده است. بر این

مقایسه‌ی مقادیر آماره‌ی انحراف معیار RMSE‌ها حاکی از آن است که در کاربری‌های مرتع، آیش و اراضی بایر، مدل کوستیاکوف-لوییز به لحاظ دقیقت در برآورده نفوذ تجمعی از عملکرد پایدارتری برخوردار بوده است. با توجه به مقادیر این آماره، در کاربری‌های گندم و برنج، مدل هورتون و در کاربری یونجه، مدل SCS از عملکرد MME برخوردار بوده است. همچنین، بررسی مقادیر آماره‌ی MME در کاربری‌های هورتون و کوستیاکوف-لوییز در تمامی

مدل کوستیاکوف-لوییز و مدل گرین و امپت به ترتیب کمترین و بیشترین خطای برآورد را داشته‌اند. همین طور، با توجه به این که مقدار انحراف معیار RMSE ها بیانگر پراکنش خطای برآورد حول میانگین RMSE ها می‌باشد، لذا مقدار این آماره نشان می‌دهد که دقّت هر مدل در برآورد نفوذ تجمیعی در خاک‌های مختلف دارای چه پراکنشی است. مقادیر این آماره در جدول (۶) بیانگر آن است که مدل SCS نفوذ تجمیعی در خاک‌های مختلف را با دقّت یکسان‌تری نسبت به دیگر مدل‌ها برآورد کرده است. از این نظر، مدل‌های کوستیاکوف-لوییز، هورتون، کوستیاکوف، فیلیپ و گرین و امپت در رتبه‌های بعدی ارزیابی قرار گرفتند.

با توجه به جدول (۶)، نزدیک بودن مقدار آماره‌های MME و MAME در مدل هورتون موید این نکته است که این مدل از نظر کم‌برآورده‌گری، عملکردی یکسان در تمامی مناطق مورد مطالعه داشته است. در نتیجه، می‌توان گفت که این مدل به‌طور سیستماتیک کم‌برآورده‌گر بوده و انحرافی جزیی در کم‌برآورده‌گردن نفوذ تجمیعی در خاک‌های مختلف از خود نشان داده است. این نکته از شکل (۳) نیز به‌خوبی قابل استنباط می‌باشد. این شکل حاکی از آن است که خطای برآورد نفوذ تجمیعی در مدل هورتون در اکثر خاک‌ها از یک نوع (کم‌برآورده‌گری) بوده است. در این شکل، مقادیر آماره‌ی میانگین خطای (ME) برآورد نفوذ تجمیعی، توسط مدل‌های مورد بررسی برای تمامی داده‌های حاصل از آزمایش‌های نفوذپذیری صورت گرفته، ترسیم گردیده است. این شکل بیانگر آن است که مدل کوستیاکوف-لوییز مدلی بیش‌برآورده‌گر و مدل هورتون مدلی کم‌برآورده‌گر بوده و در این بیش‌برآورده‌گری و کم‌برآورده‌گری در اکثر خاک‌های مورد مطالعه عملکردی پایدار داشته‌اند. با توجه به شکل (۳)، مدل‌های فیلیپ و گرین و امپت به‌لحاظ بیش‌برآورده‌گری یا کم‌برآورده‌گری عملکرد پایداری نداشته و این دو مدل در برخی خاک‌ها بیش‌برآورده‌گر و در برخی دیگر کم‌برآورده‌گر بوده‌اند. همچنین، مدل SCS در اکثر خاک‌ها بیش‌برآورده‌گر و مدل کوستیاکوف نیز در اکثر خاک‌ها کم‌برآورده‌گر بوده است.

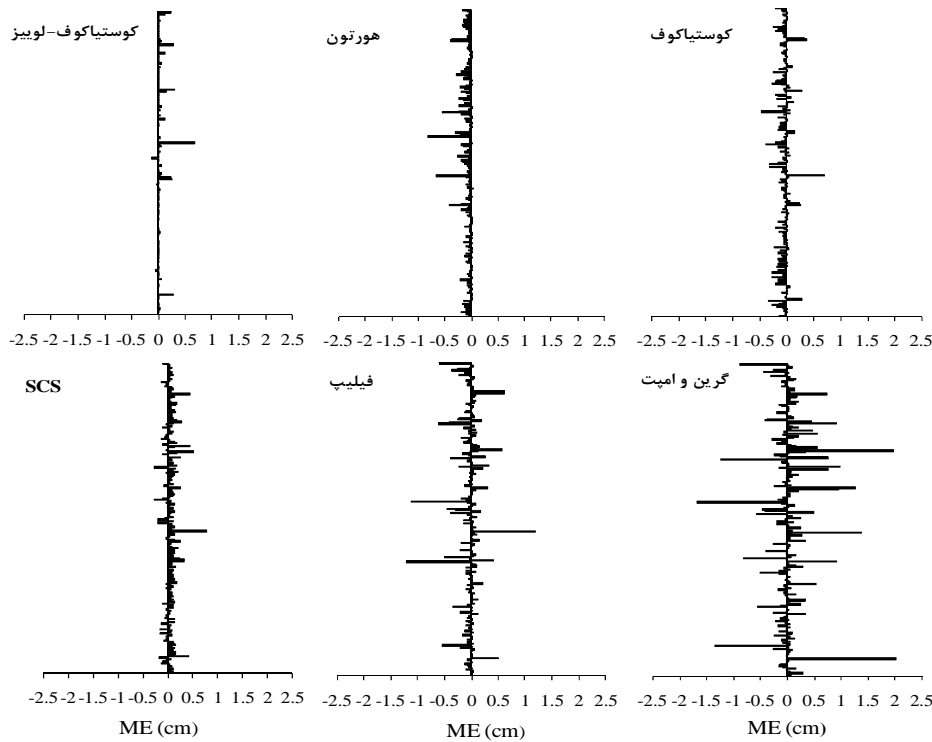
اساس، مدل‌های کوستیاکوف-لوییز و SCS در کاربری برنج به‌طور سیستماتیک بیش‌برآورده‌گر و مدل کوستیاکوف در اراضی بایر به‌طور سیستماتیک کم‌برآورده‌گر بوده است. مقایسه‌ی مقادیر میانگین ضریب همبستگی پیرسون حاکی از آن است که مدل کوستیاکوف-لوییز به‌جز در کاربری‌های آیش و یونجه نسبت به سایر مدل‌های مورد بررسی برازش بهتری بر داده‌های آزمایش‌های نفوذ داشته است.

همان‌گونه که در جدول (۵) مشاهده می‌شود، مدل کوستیاکوف-لوییز به‌جز کاربری برنج، در تمامی کاربری‌های مورد بررسی، حاiz رتبه‌ی نخست ارزیابی گردیده است. عددی که در این جدول در داخل پرانتز و در کنار مقادیر انحراف از معیار رتبه‌ی نهایی ذکر شده است، بیانگر رتبه‌ی هر مدل به‌لحاظ پایداری رتبه‌ی عملکرد آن در کاربری‌های مختلف اراضی می‌باشد. مقایسه‌ی انحراف معیار رتبه‌ی عملکرد هر یک از مدل‌ها حاکی از آن است که عملکرد مدل کوستیاکوف در مقایسه با دیگر مدل‌ها، بیشترین وابستگی را به نوع کاربری اراضی داشته است.

از ارزیابی مدل‌های نفوذ به‌ازای تمامی داده‌های حاصل از آزمایش‌های نفوذپذیری؛ به‌منظور بررسی رتبه‌ی کلی عملکرد هریک از مدل‌های مورد بررسی به‌ازای تمامی آزمایش‌های نفوذپذیری صورت گرفته، مقادیر آماره‌های ارزیابی مدل‌های فوق برای تمامی داده‌های حاصل از انجام آزمایش‌های نفوذپذیری نیز محاسبه گردید. مقادیر این آماره‌ها در جدول (۶) ارائه گردیده است. در این جدول، اعداد داخل پرانتز، بیانگر رتبه‌ی هر مدل بر اساس آماره‌ی مرتبه می‌باشد. با توجه به جدول (۶)، مقادیر آماره‌ی متوسط ضریب همبستگی پیرسون که به‌نوعی درجه‌ی یکسان بودن مقادیر اندازه‌گیری شده و برآورده شده را نشان می‌دهد، حاکی از آن است که به‌لحاظ برازش مدل‌های مورد بررسی بر داده‌های نفوذ تجمیعی، مدل کوستیاکوف-لوییز در رتبه‌ی اول و مدل SCS در رتبه‌ی آخر قرار دارد. همچنین، با توجه به این جدول، مقایسه‌ی مقادیر آماره‌ی MME بیانگر آن است که در مجموع، مدل‌های هورتون، کوستیاکوف و فیلیپ مدل‌هایی کم‌برآورده‌گر و مدل‌های کوستیاکوف-لوییز، SCS و گرین و امپت مدل‌هایی بیش‌برآورده‌گر بوده‌اند. مقایسه‌ی مقادیر آماره‌ی RRMSE نشان می‌دهد که از نظر خطای کل برآورده نفوذ تجمیعی،

جدول ۶- مقادیر آماره‌های ارزیابی مدل‌های نفوذ و رتبه‌ی مدل به‌ازای تمامی آزمایش‌های نفوذپذیری

نام مدل	آماره
کوستیاکوف-لوییز	MPearson
هورتون	MME (cm)
کوستیاکوف	MAME (cm)
SCS	MRMSE (cm)
فیلیپ	SDRMSE (cm)
گرین و امپت	Rتبه‌ی نهایی
۰/۹۹۸۰(۴)	(۱)
۰/۰۲۹۰	۰/۰۷۲۶
۰/۲۱۹۲(۶)	۰/۰۷۷۶
۰/۴۸۶۶(۶)	۰/۰۶۴۰(۱)
۰/۶۵۸۷(۶)	۰/۰۴۰۷(۲)
۰/۹۹۷۸(۵)	۰/۹۹۷۰(۶)
-۰/۰۲۰۶	۰/۰۵۹۹
۰/۱۰۵۳(۵)	۰/۱۰۰۸(۴)
۰/۴۳۷۳(۳)	۰/۴۶۷۷(۵)
۰/۵۶۶۰(۵)	۰/۳۹۴۷(۱)
(۵)	(۴)
(۴)	(۳)
(۳)	(۲)
(۲)	(۱)



شکل ۳- پراکنش میانگین خطای (ME) برآورد نفوذ تجمیعی (سانتی‌متر) به‌وسیله مدل‌های نفوذ برای تمامی داده‌های حاصل از آزمایش‌های نفوذپذیری

کوستیاکوف، فیلیپ و گرین و امپت می‌باشد. این ویژگی باعث انعطاف‌پذیری بیشتر این مدل به هنگام تعیین پارامترها گردید. همچنین، مدل‌های نظری فیلیپ و گرین و امپت در رتبه‌های انتهایی ارزیابی قرار گرفتند. علت این امر آن است که این مدل‌ها جزء مدل‌های نظری بوده و در پی‌ریزی این مدل‌ها برخی محدودیت‌ها شامل ایجاد شرایط مرزی و اولیه برای حل معادله‌ی ریچاردز و همگن فرض کردن خاک اعمال شده که با شرایط طبیعی سازگاری کافی ندارد. لیکن، در پی‌ریزی مدل‌های تجربی این گونه محدودیت‌ها اعمال نمی‌شود و هدف از استخراج مدل‌های تجربی آن بوده است که این مدل‌ها به بهترین شکل بر داده‌های آزمایش نفوذپذیری برآشن یابند. از آنجا که در این پژوهش، مقادیر پارامترهای مدل‌های نظری فیلیپ و گرین و امپت، مشابه با مدل‌های تجربی از طریق برآشش بر داده‌های آزمایش‌های نفوذپذیری تعیین گردید، لذا این پارامترها مفهوم فیزیکی نخستین خود را از دست داده‌اند. از سوی دیگر، از آنجا که مقادیر پارامترهای فوق به‌گونه‌ای تعیین گردید که این مدل‌ها به بهترین شکل بر داده‌های آزمایش‌های نفوذ برآشش یابند، می‌توان نتیجه گرفت که در صورت استفاده از مقادیر اندازه‌گیری شده‌ی پارامترهای مدل‌های فوق، عملکرد آنها در برآورد نفوذ تجمیعی، در مقایسه با آنچه که در نتایج این تحقیق ارایه گردید، به مراتب با خطای بیشتری همراه خواهد بود. هرچند در صورت تعیین پارامترهای فوق

نتیجه‌گیری

نتایج به‌دست آمده از ارزیابی عملکرد مدل‌های نفوذ گرین و امپت، فیلیپ، کوستیاکوف، کوستیاکوف-لویز، هورتون و SCS نشان داد مدل‌های مورد بررسی در این پژوهش در کلاس‌های مختلف بافت خاک و کاربری‌های اراضی عملکردی متفاوت داشتند. با این وجود، در مقایسه با سایر مدل‌ها، نحوه‌ی برآورد نفوذ تجمیعی در مدل کوستیاکوف-لویز از روند پایدارتری برخوردار بوده و در اکثر مناطق، کلاس‌های بافتی خاک و کاربری‌های مورد بررسی حائز رتبه‌ی نخست ارزیابی گردید. حال آن که این روند در دیگر مدل‌ها مشاهده نشد. با توجه به نتایج به‌دست آمده از ارزیابی کلی برآورد نفوذ تجمیعی توسط مدل‌های نفوذ مورد بررسی در این پژوهش، مدل‌های کوستیاکوف-لویز، هورتون، کوستیاکوف، فیلیپ و گرین و امپت بهترین نتایج پژوهش را در داده‌های نخست تا ششم ارزیابی قرار گرفتند. بنابراین، می‌توان گفت از بین مدل‌های نفوذ مورد بررسی، مدل کوستیاکوف-لویز بهترین مدل برای بیان کمی فرآیند نفوذ آب به خاک است. این نتیجه با نتایج پژوهش Paralange and Ghorbani Dashtaki *et al.* (2009) و Haverkamp (1989) مطابقت دارد. از آنجا که روش تعیین پارامترهای مدل‌های یاد شده روشنی برآشش بود، یکی از دلایل برتری مدل کوستیاکوف-لویز بیشتر بودن تعداد پارامترهای آن نسبت به مدل‌های SCS.

32.

- Horton, R.E. (1940). An Approach Towards a Physical Interpretation of Infiltration Capacity. *Soil Science Society of America Proceedings*, 5: 399-417.
- Kostiakov, A.N. (1932). On the dynamics of the coefficient of water-percolation in soils and on the necessity for studying it from a dynamic point of view for purposes of amelioration. *Transactions Congress International Society for Soil Science*, 6th, Moscow, Part A: 17-21.
- Lewis, M.R. (1937). The rate of infiltration of water in irrigation practice. *Eos Trans AGU* 18:361-368.
- Mezencev, V.J. (1948). Theory of formation of the surface runoff. *Meteorologiae Hidrologia*, 3: 33-40.
- Mishra, S.K., Tyagi, J.V. and Singh, V.P. (2003) Comparison of infiltration models. *Hydrol. Processes*, 17: 2629-2652.
- Moravvej, A. (2008). Infiltration Model Using Neural Networks. MSc. thesis, Islamis Azad University, Shoushtar Unit. Iran. 80 pp.
- Mukheibir, P. (2008). Water resources management strategies for adaptation to climate-induced impacts in South Africa. *Water Resour Manage* 22:1259-1276.
- Neshat, A. and Parehkar, M. (2007). The comparison of methods for determining the vertical infiltration rate. *J. Agric. Sci. Natur. Resour.*, 14(3): 186-195.
- Parlange, J.Y. and Haverkamp, R. (1989). Infiltration and Ponding Time. In: Morel-Seytoux HJ (ed) Unsaturated flow in hydrologic modeling, theory and practice. Kluwer Academic, Boston, pp 95-126.
- Philip, J.R. (1957). The theory of infiltration: 1. The infiltration equation and its solution. *Soil Science*, 83: 345-357.
- Rashidi, M. and Seyfi, K. (2007). Field comparison of different infiltration models to determine the soil infiltration for border irrigation method. *J. Agric. & Environ. Sci.*, 2(6): 628-632.
- Rawls, W.J., Ahuja, L.R., Brakensiek, D.L. and Shirmohammadi, A. (1993). Infiltration and soil water movement. In: *Handbook of Hydrology*, Maidment, D.R. (Ed.). McGraw-Hill, New York.
- Sadegh Zadeh, K., Shirmohammadi, A., Montas, H.J. and Felton, G. (2007). Evaluation of infiltration models in contaminated landscape. *Journal of Environmental Science and Health*, 42(7): 983-988.
- Sepaskhah, A.R. and Afshar-Chamanabad, H. (2002). Determination of infiltration rate for every-other furrow irrigation. *Biosystems Engineering*, 82(4): 479-484.
- Shukla, M.K., Lal, R., Owens, L.B. and Unkefer, P. (2003). Land Use and Management Impacts on Structure and Infiltration Characteristics of Soils in the North Appalachian Region of Ohio. *Soil Science*, 168 (3): 167-177.
- Sy, N.L. (2006). Modelling the infiltration process with a multi-layer perceptron artificial neural network. *Hydrol. Sci. J.*, 51(1): 3-20.

نیازی به انجام آزمایش نفوذپذیری نیست، لیکن از جمله کاستی‌های استفاده از مدل‌های تخمینی با اساس فیزیکی، نیاز به اندازه‌گیری ویژگی‌هایی است که تعیین آن‌ها بسیار دشوارتر از اندازه‌گیری نفوذ می‌باشد. همچنین، در رتبه‌بندی عملکرد مدل‌های مورد بررسی در برآورده نفوذ تجمعی، مدل تجربی SCS نیز در رده‌های انتهایی رتبه‌بندی قرار گرفت. علت این امر وجود پارامتر ثابت (0/5985) در این مدل است که مقدار آن در تمامی خاک‌ها ثابت می‌باشد. از آنجا که این امر موجب شده است تا مدل فوق در اکثر خاک‌های مناطق مورد مطالعه مدلی بیش برآورده باشد، می‌توان نتیجه گرفت که در اکثر خاک‌های مناطق مورد مطالعه، مقدار این پارامتر در مدل مذکور کمتر از مقداری است که برای آن پیشنهاد شده است.

مراجع

- Argyrokastritis, I. and Kerkides, P. (2003). A note to the variable sorptivity infiltration equation. *Water Resour. Manage.*, 17:133-145.
- Bellocci, G., Fila, G. and Donatelli, M. (2002). An Indicator of Solar Radiation Model Performance based on a Fuzzy Expert System. *Agron. J.*, 94: 1222-1233.
- Bhardwaj, A. and Singh, R. (1992). Development of a portable simulator infiltrometer for infiltration, runoff and erosion studies. *Agricultural Water Management*, 22(4): 235-248.
- Bland, J.M. and Altman, D.G. (1997). Statistics notes. Cronba
- Ghorbani Dashtaki, S. (2008). Parametric Estimation of Infiltration Using Pedotransfer Functions, Artificial Neural Networks and Geostatistics. PHD. thesis, Tarbiat Modares University, Iran. 256 pp.
- Ghorbani Dashtaki, S., Homaee, M., Mahdian, M.H. and Kouchakzadeh, M. (2009). Site-Dependence Performance of Infiltration Models. *Water Resour. Manage*, 23: 1573-1650.
- Green, W.H. and Ampt, G. (1911). Studies of Soil Physics, Part 1. The flow of air and water through soils. *Journal of Agricultural Science*, 4: 1-24.
- Haverkamp, R., Rendon, L. and Vachaud, G. (1987). Infiltration equations and their applicability for predictive use. In: Yu- SI Fok (ed.) *Infiltration Development and Application*. Honolulu, Hawaii. pp. 142-152.
- Ho, R. (2006). *Handbook of univariate and multivariate data analysis and interpretation with SPSS*. Chapman & Hall/CRC. 403 pp.
- Holtan, H.N. (1961). A concept of infiltration estimates in watershed engineering. ARS41-51, U.S. Department of Agricultural Service, Washington, DC.
- Holzapfel, E.A., Jara, J., Zuniga, Marino, M.A., Paredes, J., Billib, M. (2004). Infiltration parameters for furrow irrigation. *Agric. Water Manag.*, 68: 19-

US Department of Agriculture Natural Resources and Conservation Service. (2005). National Engineering Handbook, Part 623, Surface Irrigation. National Technical Information Service, Washington, DC, Chapter 4.

Turner, E.R. (2006). Comparison of infiltration equations and their field validation with rainfall simulation. MSc. thesis, University of Maryland, USA. 202 pp.

US Department of Agriculture, Natural Resources and Conservation Service. (1974). National Engineering Handbook. Section 15. Border Irrigation. National Technical Information Service, Washington, DC, Chapter 4.

تاریخ دریافت: ۸۸/۵/۱۴
تاریخ پذیرش: ۸۸/۱۱/۱۴

Archive of SID

Evaluating Some Infiltration Models Under Different Soil Texture Classes and Land Uses

F. Parchami Araghi¹, S.M. Mirlatifi^{2*}, S. Ghorbani Dashtaki³, M.H. Mahdian⁴

Abstract

Infiltration process is one of the most important components of the hydrological cycle. The importance of the infiltration process has enforced the soil and water researchers to model this process for quantitative applications. In this study, the performance of Green and Ampt, Philip, Kostiakov, Kostiakov-Lewis, Soil Conservation Service (SCS) and Horton infiltration models under different soil texture classes and different land uses were evaluated. For this purpose, the infiltration data were obtained by double rings method from 210 point of different regions in Iran. The parameters of these models were then obtained, using least square optimization method. In order to evaluate the accuracy of the models, the mean error (ME), root mean square error (RMSE), mean absolute of mean error (MAME) and Pearson correlation coefficient (r) statistics were calculated. The results indicated that, compared to other models, the performance of Kostiakov-Lewis model had more consistent trend in estimating the cumulative infiltration under different study regions. This model provided first ranking of evaluation in different soil texture classes and land uses. The results indicated that Horton, Kostiakov and Philip models underestimated the infiltration process while Kostiakov-Lewis, Soil Conservation Service (SCS) and Green and Ampt models overestimated the soil water infiltration process. In the most soil texture classes and land uses, the Kostiakov-Lewis and Horton models were systematically over-estimator and under-estimator models, respectively. The results of this study indicated that compared to the other infiltration models, the Kostiakov-Lewis model is the best model for quantifying the infiltration process.

Keywords: Green and Ampt Model, Horton Model, Kostiakov Model, Kostiakov-Lewis Model, Philip Model, Soil Conservation Service (SCS) Model.

1-M.Sc. Student, Dept. of Irrigation and Drainage Eng., Tarbiat Modares University, Tehran, Iran
2-Associate Professor, Dept. of Irrigation and Drainage Eng., Tarbiat Modares University, Tehran, Iran
(* - Corresponding Author EMail: mirlat_m@modares.ac.ir)
3-Assistant Professor, Dept. of Soil Science, Shahrekord University, Shahrekord, Iran
4- Associate Prof., Agricultural Research, Education and Extension Organization